

ケーブル系の動的挙動に関する2,3の考察

東京大学 学生員 山口宏樹
 東京大学 正員 宮田利雄
 東京大学 正員 伊藤学

1. はじめに

剛性の小さなケーブル系の動特性を考える場合、最終的にはその非線形挙動か重複となるのであって、それには単一ケーブルの非線形特徴を把握が不可欠である。またその非線形解析の基礎となる線形特徴、つまり固有振動性状についても明確にする必要がある。そこで、ここではケーブルを連続体として扱う場合の支配方程式を示して考察を加え、線形化した支配方程式を用いたパラメータ解法から固有振動性状を明らかにする。次に单一ケーブルの非線形挙動の一とと思われる面内周期荷重による面外不定振動について理論的考察を加える。

2. 支配方程式

完全可塑性、非抗圧縮性、伸張性を有する单一のケーブルが初期状態において平面内(鉛直面内)に静止しているものとすれば、微小ひずみを仮定した支配方程式が次のように求められる。

$$\frac{\partial}{\partial \xi_e} \left[\left\{ T_0 + EA \left(\frac{dx_e}{d\xi_e} \right)^2 \right\} \frac{\partial U}{\partial \xi_e} + EA \frac{dx_e}{d\xi_e} \frac{d^2 U}{d\xi_e^2} \right] - \rho_0 \frac{\partial^2 U}{\partial t^2} = f_1(U, V, W) \quad (1)$$

$$\frac{\partial}{\partial \xi_e} \left[\left\{ T_0 + EA \left(\frac{dx_e}{d\xi_e} \right)^2 \right\} \frac{\partial V}{\partial \xi_e} + EA \frac{dx_e}{d\xi_e} \frac{d^2 V}{d\xi_e^2} \right] - \rho_0 \frac{\partial^2 V}{\partial t^2} = f_2(U, V, W) \quad (2)$$

$$\frac{\partial}{\partial \xi_e} \left(T_0 \frac{\partial W}{\partial \xi_e} \right) - \rho_0 \frac{\partial^2 W}{\partial t^2} = f_3(U, V, W) \quad (3)$$

ここで ξ_e は初期状態のケーブルに沿う曲線座標、 T_0 は初期張力、 EA は伸び剛性、 ρ_0 は単位長さ当たり質量、 $(x_e, y_e, 0)$ は初期座標、 (U, V, W) は変位ベクトルで、右辺の f_1, f_2, f_3 は U, V, W に関する幾何学的非線形項である。従って非線形項を介して 3 つの振動が連成することになるが、このことは物理的にはケーブル張力によるものである。また上式から、線形項のみを考えれば面内の鉛直振動と横振動とは連成するものの、面外振動は連成しないことがわかる。さらに上式を無次元化することによって、動特性を支配する無次元パラメータがサブヒート係数 α (以上、形状パラメータ) と初期水平張力伸び剛性比 β (材料パラメータ) であることがわかる。

3. 固有振動性状

单一ケーブルの自由振動性状については古くから多くの研究¹⁾があり、最近になり FEM を用いた解析^{2), 3)}でやっと明確にされた例があるが、ここでは上の線形化した支配方程式を Galerkin 法によつて比較的簡単に解析し、

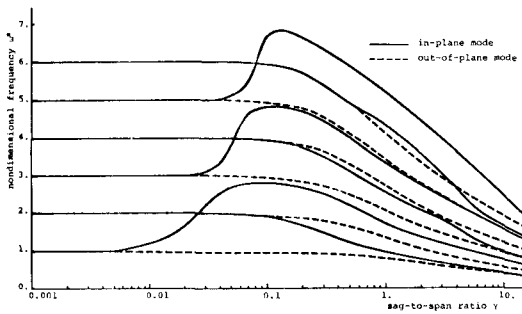


FIG. 1 Nondimensional Natural Frequency Versus Nondimensional Sag (I)
 $(\delta=0^\circ, k^2=300)$

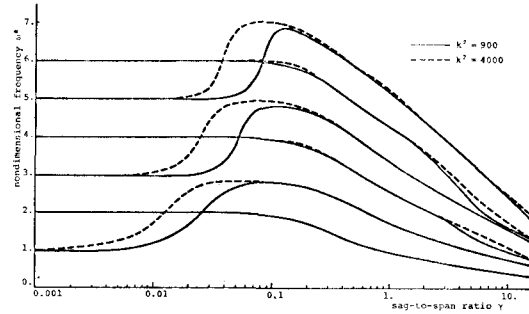


FIG. 2 Nondimensional Natural Frequency Versus Nondimensional Sag (II)
 $(\delta=0^\circ, \text{in-plane mode})$

結果を上述のパラメータについて整理した(Fig. 1, 2)。固有振動数は等スパンの弦のそれと無次元化である。Fig. 1 は固有振動数のサゲ比に対する変化を面内モード、面外モードについて比較したもので、サゲ比が小さいときには面内と面外の振動数が同じであり、大きくなるにつれて面外の sway モードが最低次を与えることがわかる。またある固有振動数に対して 2 個の面内モードが存在するようなサゲ比(図 2 の曲線の交差)が存在するこども確認される。このような点の増加によりサゲ比の小さな方向に移動する傾向がある(Fig. 2)。

4. 一非線形挙動⁴⁾

单一ケーブルは、面外周期外力が作用する場合に外力振動数、偏心位によつて面外方向の横揺れを生じ、つりには回転運動をするといった非線形挙動を示すことが実験的に報告されている。これは面内、面外運動の支配方程式が非線形項を介して連成するためであつて、面外運動のみに着目すれば一種の動的不安定現象と考えられる。つまり面内位を周期関数として与えれば面外運動の支配方程式は Galerkin 法を用いて建立 Hill 方程式に变换され、その不安定領域から面外不安定運動の存在が理解できるのである。一方、回転運動に着目してこれを連成強制振動の定常解として扱えば、その応答曲線から面外運動が現われる限界が求められる。

2, 3 次モードの強制振動について不安定領域と応答曲線を示したもののが Fig. 3, 4 である。Fig. 3 は偏心位に向の応答曲線(着目すれば、面外運動を考慮したもの(偏心)と無視したもの(美線)とが点 B で交わっており、この点を境に B-C' で表わされる面外運動が存在する。従つ偏心位に向の応答は A-B-C' となるのである。Fig. 3, 4 から面内偏心位に向の運動が作用する場合の面外回転運動という非線形挙動を解釈すると、キビ不安定領域内にあつてしか面外定常振幅が存在するような範囲の外力振動数(Ω_{dyn})と(Ω_{syn})をもつ周期外力が静止ケーブルに作用するとき偏心位に向の運動が生じ、面内、面外の振動が共に発達して回転運動を表わす応答曲線に達し、定常的な回転運動が循環されることがある。また主不安定領域は面内振動の 1/2 の振動数をもつ面外運動の存在を意味するが、偶数次のモードでは存在しないことが理論的に言え、実験報告⁵⁾と一致している。この現象は弦では見られず、サゲを有するケーブル特有の非線形挙動と考えられる。

5. あとがき

单一ケーブルの動的挙動についてつか考察を加えたが、構造の一要素となつたときの挙動、特に非線形不安定挙動について改めて報告したい。

(参考文献)

- 1) 例題は "Irving et al., 'The Linear Theory of Free Vibrations of A Suspended Cable', Proc. R. Soc. (London), 1970
- 2) West et al., 'Natural Vibrations of Suspension Cables', ASCE, ST1, 1975
- 3) Henghold et al., 'Free Vibrations of Cable in 3 Dimensions', ASCE, ST1, 1977

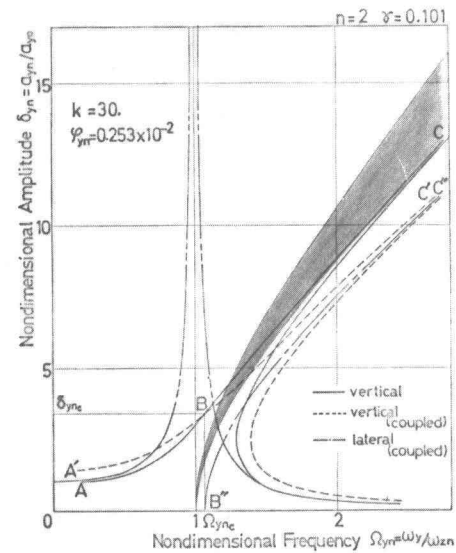


FIG.3 Regions of Dynamic Instability and Response Curves
(n=2)

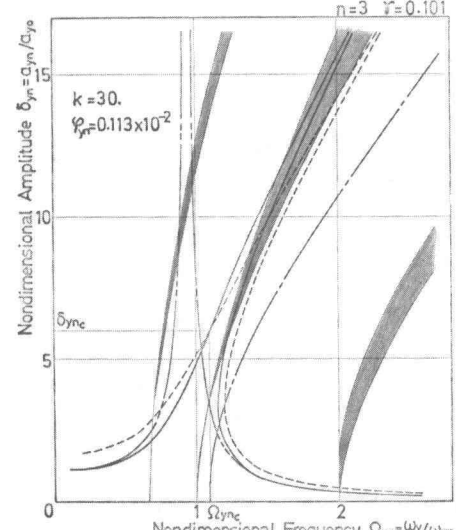


FIG.4 Regions of Dynamic Instability and Response Curves
(n=3)

4) 山口、高田、伊藤、「ケーブル系の非線形動的挙動、あわせ一挙動」、構造工学シンポ、1978
5) Davenport, 'Dynamic Behavior of Massive Guy Cables', ASCE, ST2, 1965
6) 山口、高田、「ケーブル平行系の動的特性」、第2回年次講演、1977